

**СИНТЕЗ КОБАЛЬТСОДЕРЖАЩИХ АЭРОСИЛОВ  
ИЗ РАСТВОРОВ АМИН — ПРОПАНДИОЛ-1,2-КАРБОНАТ**

Скопенко В. В., Глушенко Л. В., Трофимчук А. К., Мирошников О. Н.

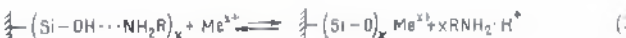
Возможность получения металлокомплексов из новодельных растворов, содержащих аминные комплексы солей металлов, изучена нами ранее. Результаты исследований показали, что количество металла, связанного с аэросилом одной и той же поверхности, зависит от природы металла-иона, амина и среды [1]. Можно предположить, что при контакте аэросила с раствором аминного комплекса металла происходит, в основном, следующие процессы. Амин координирует с кислым водородом силанольных групп поверхности  $\text{SiO}_2$  за счет образования подпородных связей аналогично координации аммиака [2—4]



Свободный ион металла, образующийся в результате диссоциации аминного комплекса



взаимодействует с поверхностью, образуя металлокомплексный аэросил



Таким образом, увеличение основности амина, с одной стороны, должно создавать благоприятные условия для «привязки» металла к поверхности аэросила за счет ослабления связи  $\text{O}-\text{H}$  силанольных групп (уравнение (1)), а с другой стороны,— приводит к увеличению закомплексованности металла, что вызывает снижение концентрации его свободных ионов и, следовательно, уменьшение количества металла, химически связанного с поверхностью (уравнения (2), (3)). Изучению взаимосвязи этих двух факторов и посвящена данная статья.

Безусловно, на равновесие (3) существенное влияние должна оказывать и сольватация ионов металла растворителем, что является предметом отдельных исследований. В качестве растворителя использовали пропандиол-1,2-карбонат (ПК), обладающий средними донорными свойствами ( $D_{N\text{yC}_6} = 15,1$ ) и высокой диэлектрической проницаемостью (69,0) [5], в котором изученные аминные комплексы устойчивы и не выпадают в осадок. В качестве соли брали безводный  $\text{Co}(\text{ClO}_4)_2$ , так как галогениды кобальта ввиду высокой диэлектрической проницаемости ПК склонны к аугокомплексообразованию [5] и, следовательно, усложняют равновесия (2, 3).

ПК сушили над  $\text{CaH}_2$  и дважды перегоняли под вакуумом. Амин кипятили и перегоняли над свежевыплавленным  $\text{KOH}$ , отбирая среднюю фракцию, отвечающую их температурам кипения, и хранили запаянных ампулах.  $\text{Co}(\text{ClO}_4)_2 \cdot 6\text{H}_2\text{O}$  растворяли в ПК, хранили при встряхивании в течение нескольких суток над цеолитами марки Na (4 Å), предварительно прокаленными при 500°. Затем раствор отфильтровывали на фильтре Шотта, соблюдая необходимые предосторожности от попадания влаги. Полноту поглощения воды цеолитами контролировали, отгоняя под вакуумом часть ПК от перхлоратного раствора. Анализ на воду по Фишеру показывает наличие следов воды, не превышающих 0,005%.

Аэросил марки А-175 с удельной поверхностью 130 м<sup>2</sup>/г, измеренной по вакуумпературной адсорбции азота методом БЭТ, перед синтезом сушили при 120°. Во всех случаях готовили 50 мл 0,1-мол. раствора  $\text{Co}(\text{ClO}_4)_2$ , содержащего по сравнению с перхлоратом кобальта восьмикратный избыток амина. К полученному раствору прибавляли 1 г аэросила. Смеси встряхивали на мешалке в течение часа. По нашим данным, этого времени достаточно для достижения равновесия

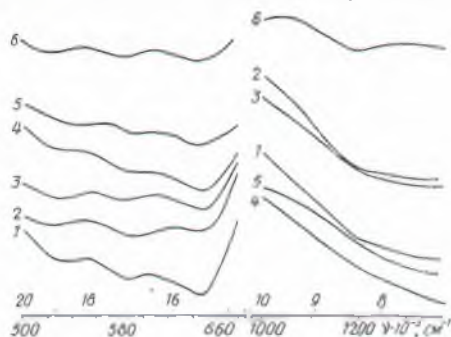


Рис. 1. Спектры диффузного отражения кобальтсодержащих аэросилов, синтезированных в растворах  $\text{Co}(\text{ClO}_4)_2$  — амин — ИК: 1—2-аминопиридин; 2 — диэтиламин; 3—3-аминопиридин; 4 — пиридин; 5 — 3-бромопиридин; 6 — изохинолин.

(3). Затем осадок отделяли и промывали растворителем до исчезновения ионов металла в промывном растворе. После этого кобальтсодержащий аэросил промывали несколько раз метафолом, сушили при 80° и анализировали на кобальт (трилонометрически), предварительно разлагая кобальтсодержащий аэросил раствором  $\text{HNO}_3$ . Спектры диффузного отражения кобальтсодержащих аэросилов снимали на спектрофотометре «Shimadzu», электронные спектры поглощения — на спектрофотометре «Perkin—Elmer 50!». Результаты синтеза полученных образцов представлены в таблице.

Анализ полученных образцов по Дюма, а также сплавление с металлическим натрием [6] указывают на отсутствие азота. Спектры диффузного отражения некоторых полученных образцов представлены на рис. 1. В оптическом спектре отражения наблюдаются полосы поглощения с максимумом в области около 18 000, 17 000 и 15 500 см<sup>-1</sup>. На основании литературных данных [7, 8] эти полосы можно отнести к кобальту, находящемуся в тетраэдрическом окружении. Такая координация, возможно, происходит за счет атомов кислорода силенольных групп и молекул координированной воды, например,  $\text{Co}(\text{H}_2\text{O})_4^{2+}$  поглощает также в этой области [9]. В ИК-области спектра наблюдаются

#### Результаты синтеза кобальтсодержащих аэросилов в ПК

Амин	$pK_a$	$K_1$	Координационное число $\text{Co}^{2+}$ в растворе	Содержание кобальта на аэросиле, вес. %
3-Бромопиридин	~3,0	0,6	6	0,64
Хинолин	4,8	1,1	6	0,66
Изохинолин	5,0	1,7	6	0,42
Пиридин	5,2	1,3	6	0,70
Бензимидазол	5,6	1,8	4	0,68
3-Аминопиридин	6,0	—	6	1,26
Акридин	5,6	1,5	4	1,20
2-Аминопиридин	6,9	1,3	4	1,71
Диэтиламин	10,9	1,8	4	2,75

поглощения в интервале 8500—7500 см<sup>-1</sup>, что также характерно ионов кобальта в тетраэдрическом окружении. Однако в некоторых образцах, например 4, 5 (см. рис. 1), полосы поглощения сдвигнут более длинноволновую область. Это может означать, что кобальт поверхности аэросила находится и в октаэдрическом окружении.

Как видно из таблицы и рис. 2, количество кобальта, связанного с поверхностью аэросила, возрастает с увеличением рК амина. Вместе с тем, в ряде случаев при близких рК аминов процент «привитого» кобальта существенно изменяется, что, вероятно, связано с различиями констант устойчивости аминокомплексов кобальта.

Для оценки констант устойчивости аминных комплексов кобальта мы снимали спектры поглощения растворов перхлората кобальта:

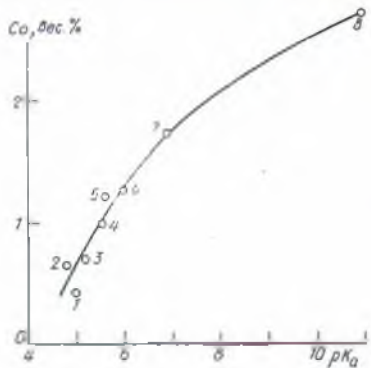


Рис. 2. Зависимость содержания кобальта в аэросиле от рK аминов: 1 — изодинолин; 2 — киннолин; 3 — пиридин; 4 — бензидазол; 5 — акридин; 6 — 3-аминопиридин; 7 — аминопиридин; 8 — диэтамины.

ПК при различном соотношении  $\text{Co}(\text{ClO}_4)_2$ : амин в видимой и ИК-спектрах спектра (360—1500 нм). Первая константа устойчивости комплексов  $[\text{CoAm}(\text{ПК})_3]^{2+}$ , образующихся в результате реакции



определенена по методу предельного логарифмирования [10]. К<sub>1</sub> приведены в таблице. Различие в К<sub>1</sub> при одинаковых рK аминов может объяснить как результат различного вклада орбиталей донора в общую связь амин — металла. По положению максимумов полос поглощения и параметру Dg [11] определено координационное состояние аминных комплексов кобальта (см. таблицу).

Полученные результаты хорошо согласуются с высказанным выше предположением о механизме процессов, происходящих в аминных комплексах металлов при контакте с аэросилом. Например, бензидазол и акридин имеют одинаковый рK (5,6), однако количество кобальта, химически связанного с поверхностью аэросила, существенно различается и равно соответственно 0,98 и 1,20%, что обусловлено различием в константах устойчивости этих комплексов (соответственно Ig K<sub>1</sub> составляет 1,8 и 1,5). Аналогичная картина наблюдается в ряде других случаев с близкими рK. При однодаковых K<sub>1</sub>, как и следовало ожидать, исходя из равновесий (2), (3), например, в случае 2-аминопиридиника и пиридина, процентное содержание кобальта в аэросиле возрастает с увеличением рK.

#### ЛИТЕРАТУРА

- Скопенко В. В., Глушченко Л. В., Трофимчук А. К., Чуйко А. А., Губ А. А. Синтез и исследование металлокомплексов аэросилов. — «Укр. хим. журн.», 1978, 43, № 1, с. 10—14.
- Folmar M., Yates D. Expansion—contraction effects in rigid adsorbents at coverages. — «J. Faraday Soc.», 1958, 54, № 3, с. 429—440.
- Роев Л. М., Филимонов В. Н., Терепик А. Н. Изменение инфракрасного спектра молекул при их взаимодействии с центрами адсорбции алюмоциликатного катализатора. — «Оптика и спектр.», 1958, 4, № 3, с. 328—334.

4. Cant N. W., Little L. H. An infrared study of adsorption of ammonia on porous Vycor glass.—«Can. J. Chem.», 1964, 42, № 4, с. 802—809.
5. Гутан В.—В кн.: Химия координационных соединений в неводных средах—М.: Мир, 1965, с. 30, 182—185.
6. В кн.: Общий практикум по органической химии—М.: Мир, 1965, с. 568, 569.
7. Ballhausen C. J., Jorgensen C. K. Adsorption spectra. IX. The spectra of cobalt (III) complexes.—«Acta Chem. Scand.», 1955, 9, с. 397—404.
8. Михеевкин И. Д., Братиковский О. И., Жидомир Г. М., Казачский В. Изучение с помощью оптических спектров и спектров ЭПР координационного состояния и мест локализации ионов хобальта в комплексах типа X и V.—«Киникат», 1971, 12, № 6, с. 1442—1448.
9. Colton F. H., Holm R. H. Magnetic Inequalities of spin-free Cobaltous Complexes. III. On the Existence of Planar Complexes.—«J. Am. Chem. Soc.», 1960, 82, с. 2979—2983.
10. В сб.: Спектроскопические методы в химии координационных соединений—М.—Д.: Химия, 1964, с. 43—44.
11. Берсукер И. Б. Электронное строение и свойства координационных соединений.—М.—Л.: Химия, 1964,—349 с.

Киевский государственный университет  
им Т. Г. Шевченко

Поступила  
5 декабря 1977 г.